

**Zeitschrift:** Eclogae Geologicae Helvetiae  
**Band:** 73 (1980)  
**Heft:** 1

**Artikel:** Les Marnes à Foraminifères et les Schistes à Meletta des chaînes subalpines septentrionales (Haute-Savoie, France)  
**Anhang:** Planches  
**Autor:** [s.n.]  
**DOI:** <https://doi.org/10.5169/seals-164943>

#### Nutzungsbedingungen

Die ETH-Bibliothek ist die Anbieterin der digitalisierten Zeitschriften. Sie besitzt keine Urheberrechte an den Zeitschriften und ist nicht verantwortlich für deren Inhalte. Die Rechte liegen in der Regel bei den Herausgebern beziehungsweise den externen Rechteinhabern. Siehe Rechtliche Hinweise.

#### Conditions d'utilisation

L'ETH Library est le fournisseur des revues numérisées. Elle ne détient aucun droit d'auteur sur les revues et n'est pas responsable de leur contenu. En règle générale, les droits sont détenus par les éditeurs ou les détenteurs de droits externes. Voir Informations légales.

#### Terms of use

The ETH Library is the provider of the digitised journals. It does not own any copyrights to the journals and is not responsible for their content. The rights usually lie with the publishers or the external rights holders. See Legal notice.

**Download PDF:** 22.11.2024

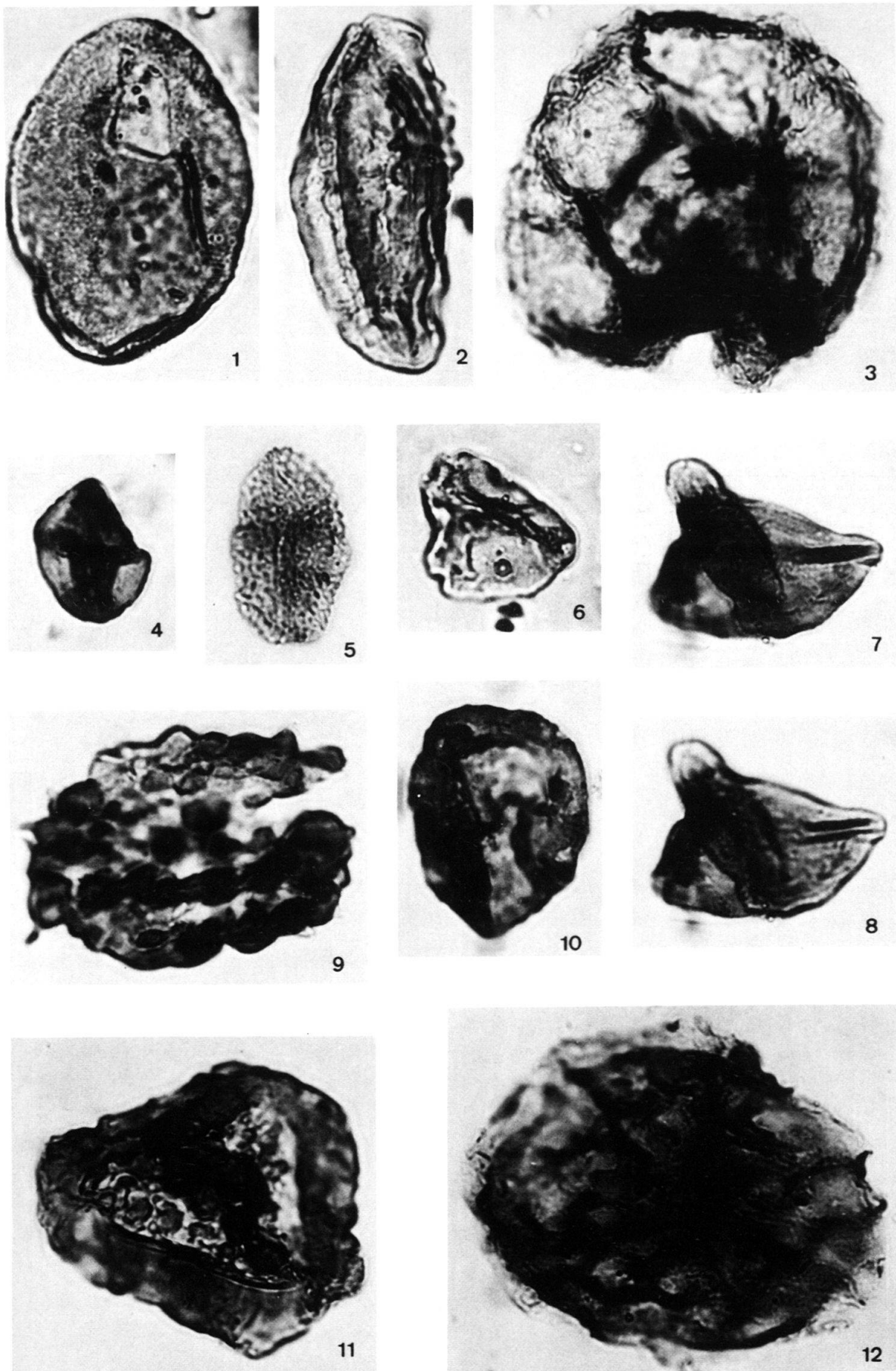
**ETH-Bibliothek Zürich, E-Periodica, <https://www.e-periodica.ch>**

## Planche 1

Pollens, spores et kystes de Dinoflagellés des Marnes à Foraminifères et des Schistes à *Meletta* du massif des Bornes.

- Fig. 1      *Tectatodinium cf. pellitum* WALL 1967.  
Vacherie, 4527.
- Fig. 2      *Ephedripites (Distachyapites) tertiarius* W. KR. 1970.  
Bourgeal-dessus, 4560.
- Fig. 3      *Selenopemphix nephroides* BENEDECK 1972.  
Pont de Venay, 4521.
- Fig. 4      *Tricolporopollenites megaexatus* (R. POT.) TH. & PF. 1953.  
Le Roy, 4544.
- Fig. 5      *Arecipites oligocaenicus* W. KR. 1970.  
Bourgeal-dessus, 4560.
- Fig. 6      *Triatriopollenites rurensis* TH. & PF. 1953.  
Pré Vernay, 4528.
- Fig. 7, 8    *Boehlensipollis hohli* W. KR. 1962.  
Bourgeal-dessus, 4560.
- Fig. 9      *Echinatisporis verruechinus* W. KR. 1959.  
Col de la Colombière, 4515.
- Fig. 10     *Polyporopollenites undulosus* (WOLFF) TH. & PF. 1953.  
Col de la Colombière, 4513.
- Fig. 11     *Polypodiaceoisporites fortis* W. KR. 1959.  
Col de la Colombière, 4513.
- Fig. 12     *Zlivisporites* fsp.  
Bourgeal-dessus, 4560.

Grossissements: × 1000.

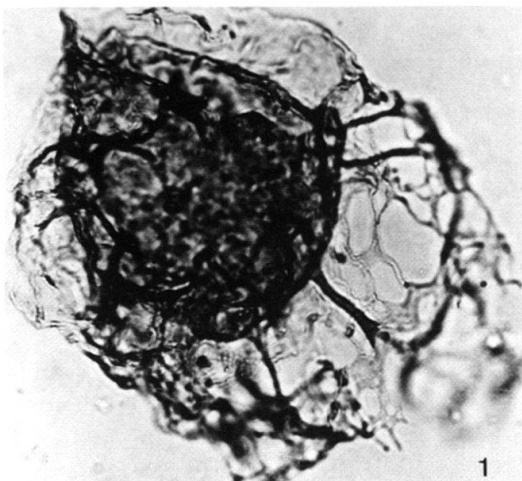


## Planche 2

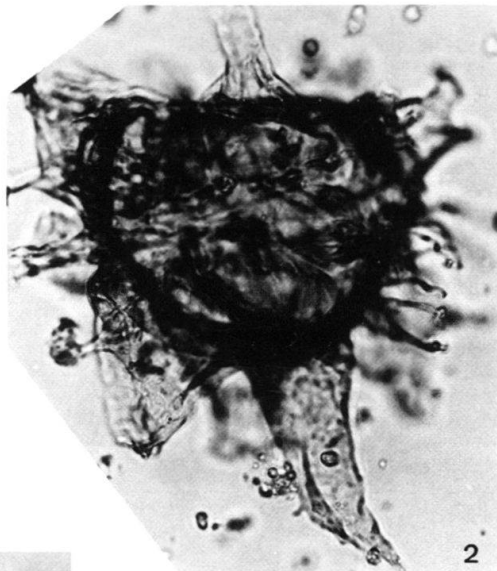
Kystes de Dinoflagellés des Marnes à Foraminifères et des Schistes à *Meletta* du massif des Bornes.

- Fig. 1      *Eatonicysta ursulae* (MORGENROTH) STOVER & EVITT 1978.  
Col de la Colombière, 4519.
- Fig. 2      *Hystrichokolpoma cinctum* KLUMPP 1953.  
Vacherie, 4523.
- Fig. 3      *Deflandrea heterophlycta* DEFL. & COOKS. 1955.  
Vacherie, 4527.
- Fig. 4, 5    *Adnatosphaeridium reticulense* (PASTIELS) DE CONINCK 1969.  
Vacherie, 4527.
- Fig. 6      *Deflandrea spinulosa* ALBERTI 1959.  
Pré Vernay, 4530.
- Fig. 7      *Wetzelilla symmetrica* WEILER 1956.  
Carré Derrière, 4555.
- Fig. 8      *Areosphaeridium diktyoplokus* (KLUMPP) EATON 1971.  
Pont de Venay, 4521.

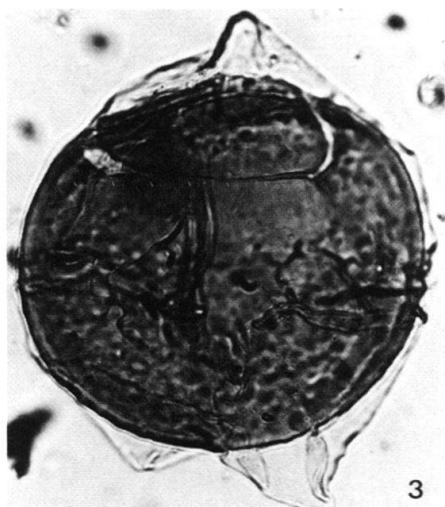
Grossissements: × 500.



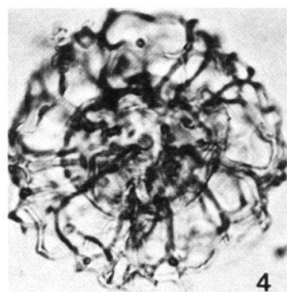
1



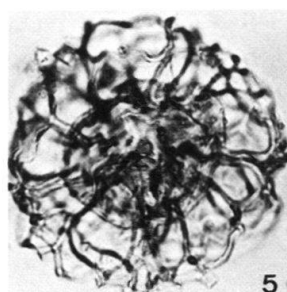
2



3



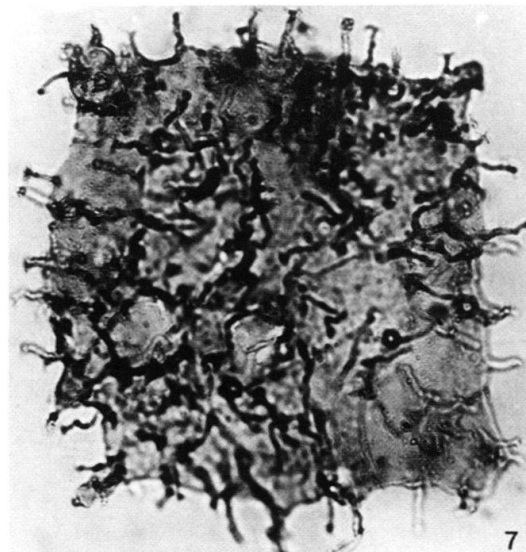
4



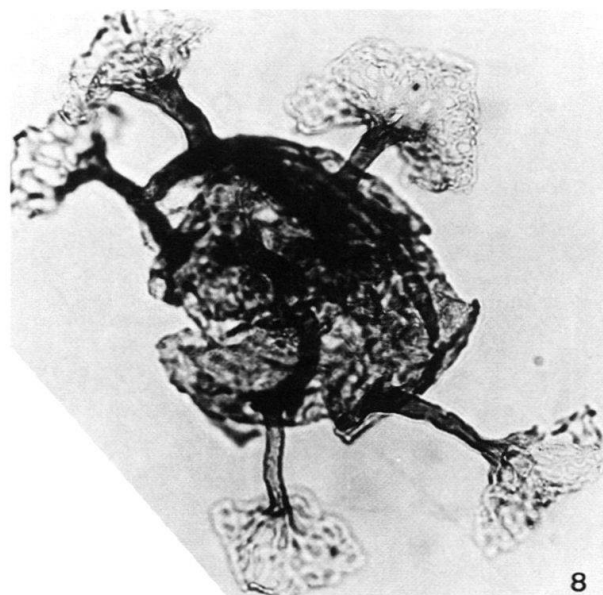
5



6



7



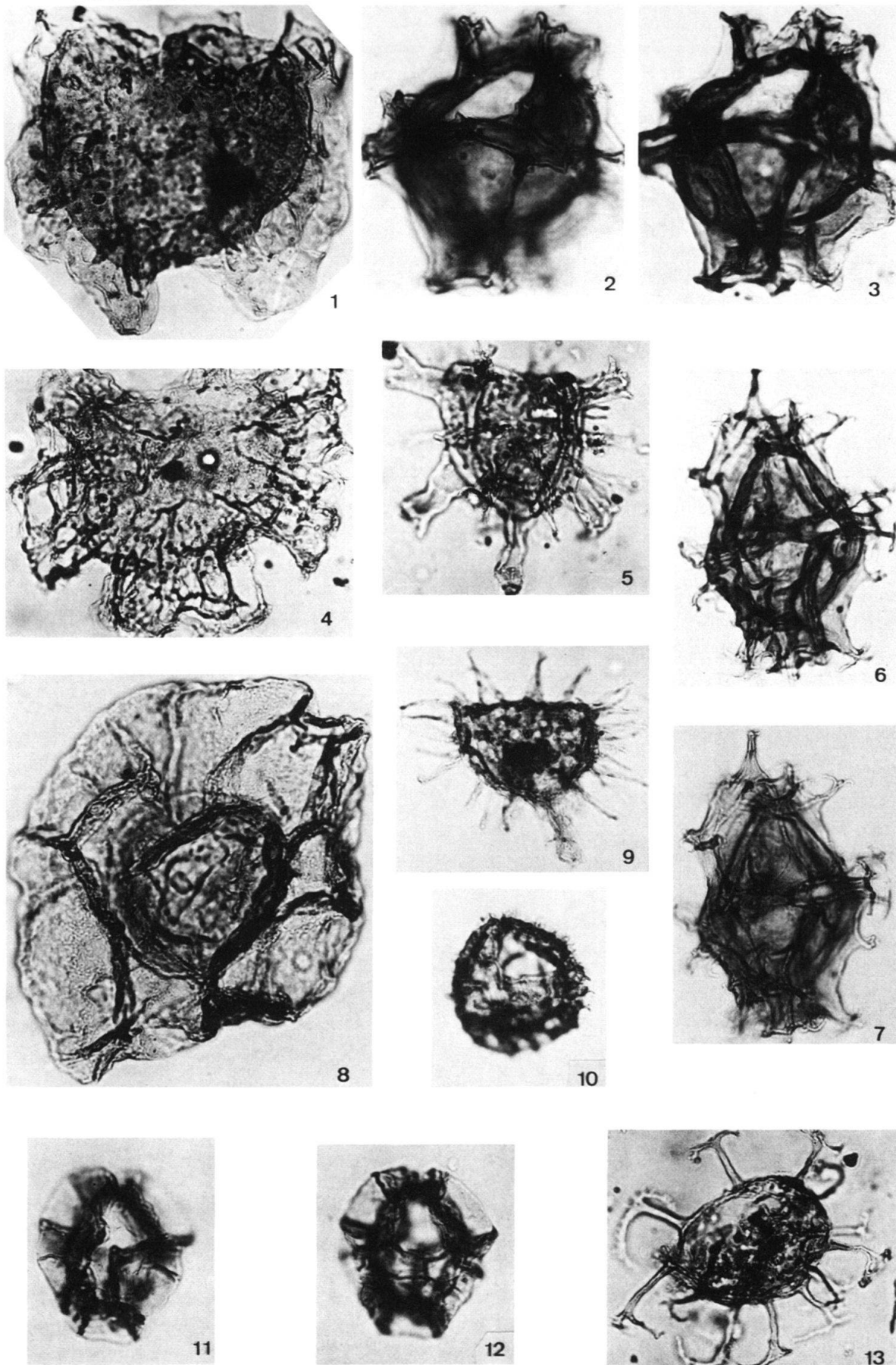
8

### Planche 3

Kystes de Dinoflagellés des Marnes à Foraminifères et des Schistes à *Meletta* du massif des Bornes.

- Fig. 1           *Membranophoridium aspinatum* GERLACH 1961.  
Vacherie, 4526.
- Fig. 2, 3       *Spiniferites wetzelii* (DEFL.) SARJEANT 1970.  
Col de la Colombière, 4513.
- Fig. 4           *Glaphyrocysta pastielsii* (DEFL. & COOKS.) STOVER & EVITT 1978.  
Vacherie, 4524.
- Fig. 5           *Hystrichokolpoma rigaudae* DEFL. & COOKS. 1955.  
Vacherie, 4525.
- Fig. 6, 7       *Spiniferites cornutus* (GERLACH) SARJEANT 1970.  
Le Roy, 4544.
- Fig. 8           *Thalassiphora pelagica* (EISENACK) EISENACK & GOCHT 1960.  
Le Roy, 4544.
- Fig. 9           *Diphyes colligerum* (DEFL. & COOKS.) COOKS. 1965.  
Pont de Venay, 4521.
- Fig. 10          *Corrudinium incompositum* (DRUGG) STOVER & EVITT 1978.  
Torrent d'Enfer, 4855.
- Fig. 11, 12      *Pterodinium* sp.  
Torrent d'Enfer, 4854.
- Fig. 13          *Areosphaeridium arcuatum* EATON 1971.  
Vacherie, 4524.

Grossissements: ×500.

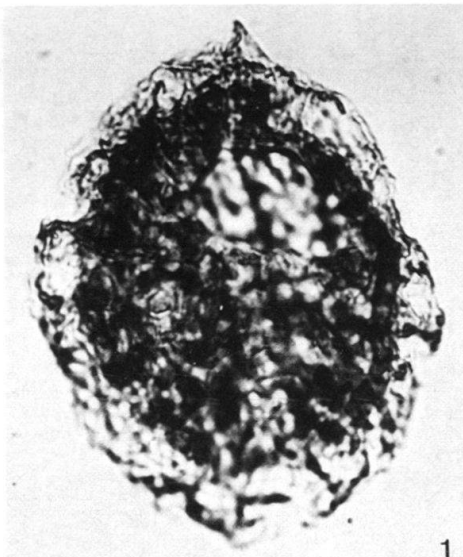


**Planche 4**

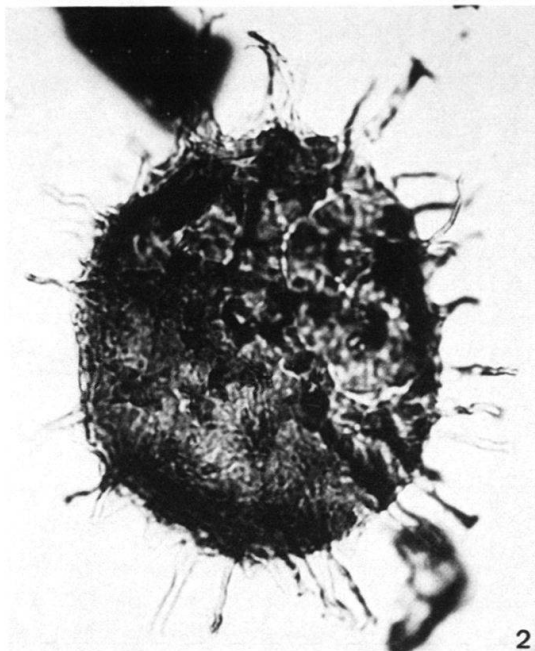
Kystes de Dinoflagellés des Marnes à Foraminifères et des Schistes à *Meletta* du massif des Bornes.

- Fig. 1      *Samlandia chlamydophora* EISENACK 1954.  
Vacherie, 4526.
- Fig. 2      *Cordosphaeridium funiculatum* MORGENROTH 1966a.  
Torrent d'Enfer, 4858.
- Fig. 3      *Cordosphaeridium microtriaina* (KLUMPP) EISENACK 1963b.  
Torrent d'Enfer, 4853.
- Fig. 4      *Achilleodinium biformoides* (EISENACK) EATON 1976.  
Col de la Colombière, 4512.
- Fig. 5      *WetzelIELLA gochtii* COSTA & DOWDIE 1976.  
Pré Vernay, 4528.
- Fig. 6      *Kisselovia coleothrypta* (WILLIAMS & DOWDIE) LENTIN & WILLIAMS 1976.  
Pont de Venay, 4521.

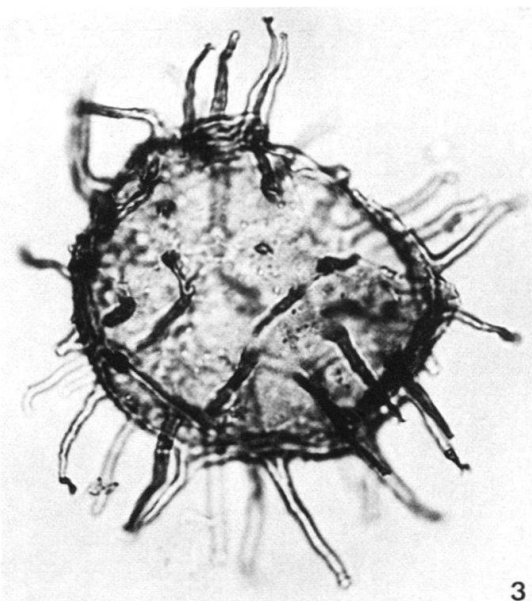
Grossissements: × 500.



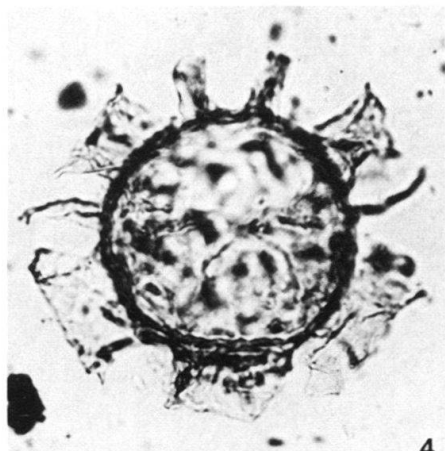
1



2



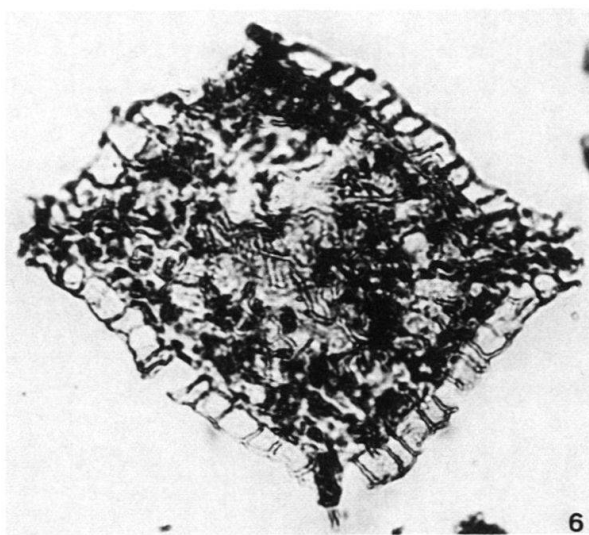
3



4



5



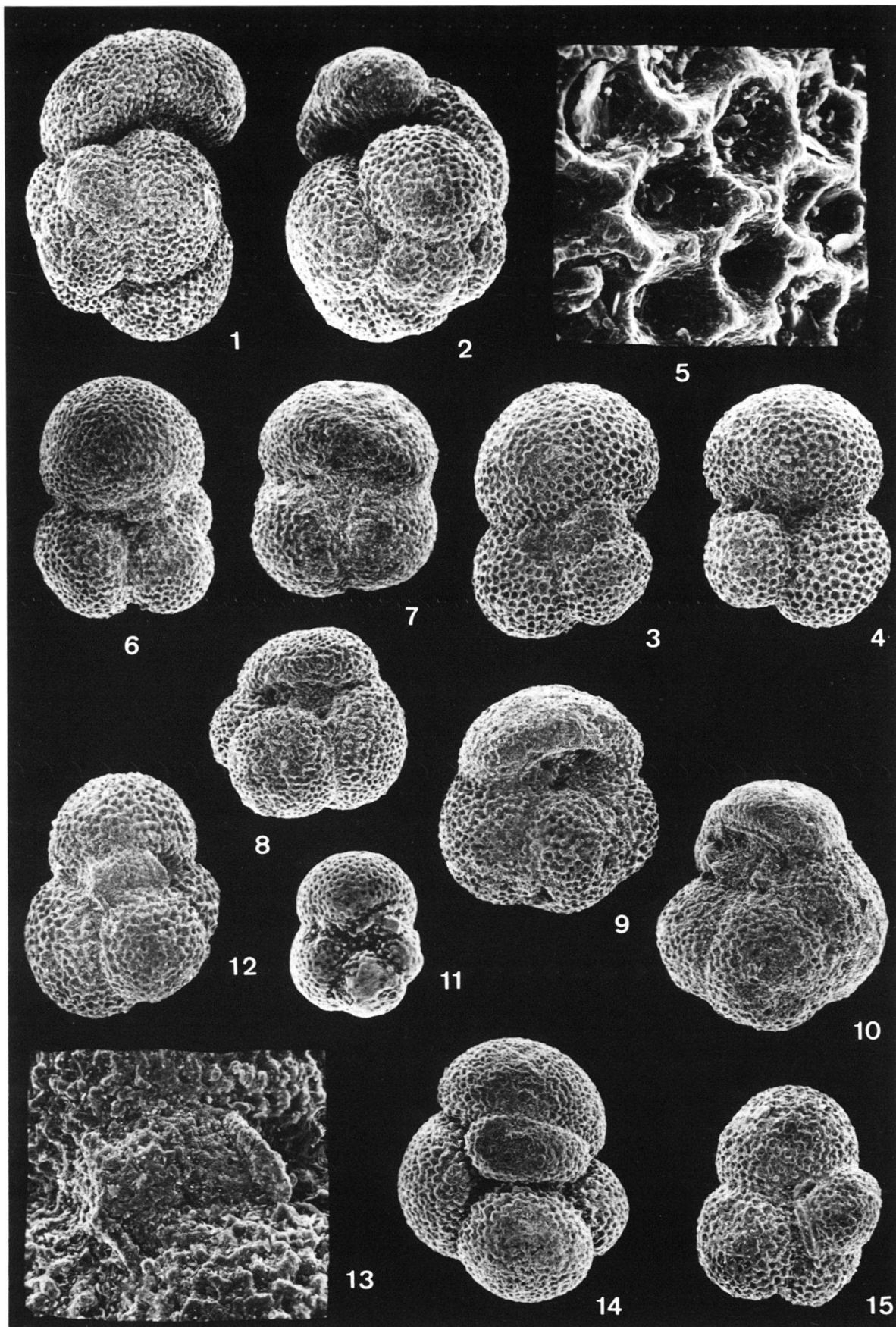
6

## Planche 5

Foraminifères planctiques des Marnes à Foraminifères du massif des Bornes.

- Fig. 1, 2      *Globigerina gortanii gortanii* BORSETTI.  
Vacherie, 4526, Marnes à Foraminifères (C 34619–34620), vues de profil.
- Fig. 3–5      *Globigerina cf. utilis index* JENKINS & ORR.  
Vacherie, 4526, Marnes à Foraminifères (C 34621–34622). Fig. 3: face spirale; fig. 4: face ombilicale; fig. 5: détail de l'avant-dernière loge de la figure 4 montrant la structure réticulée du test.
- Fig. 6      *Globigerina galavisi* BERMUDEZ.  
Vacherie, 4527, Marnes à Foraminifères (C 34623). Face ombilicale montrant la lèvre en forme de dent recouvrant en partie l'ouverture.
- Fig. 7      *Globigerina tripartita* KOCH.  
Vacherie, 4527, Marnes à Foraminifères (C 34624). Face ombilicale.
- Fig. 8      *Globigerina prasaepis* BLOW.  
Vacherie, 4527, Marnes à Foraminifères (C 34625). Face ombilicale.
- Fig. 9      *Globigerina ampliapertura* BOLLI.  
Le Roy, 4541, Marnes à Foraminifères (C 34626). Face ombilicale.
- Fig. 10      *Globorotalia increbescens* (BANDY).  
Le Roy, 4541, Marnes à Foraminifères (C 34627). Face ombilicale.
- Fig. 11      *Globorotalia opima nana* BOLLI.  
La Sage, 4565, Schistes à *Meletta* (C 34628). Face ombilicale vue de  $\frac{3}{4}$ .
- Fig. 12, 13      *Catapsydrax dissimilis* CUSHMAN & BERMUDEZ.  
Pont de Venay, 4522, Marnes à Foraminifères (C 34629). Fig. 12: face ombilicale; fig. 13: détail de la figure 12 montrant la bulle et ses ouvertures accessoires.
- Fig. 14      *Catapsydrax pera* (TODD).  
Vacherie, 4526, Marnes à Foraminifères (C 34630). Face ombilicale.
- Fig. 15      *Catapsydrax unicavus* BOLLI, LOEBLICH & TAPPAN.  
Pont de Venay, 4522, Marnes à Foraminifères (C 34631). Vue ombilicale montrant la bulle recouvrant l'ombilic et son unique ouverture accessoire.

Grossissements: fig. 1:  $\times 70$ ; fig. 2, 6–8, 14:  $\times 80$ ; fig. 3, 4, 9–12:  $\times 100$ ; fig. 13:  $\times 250$ ; fig. 5:  $\times 1000$ .

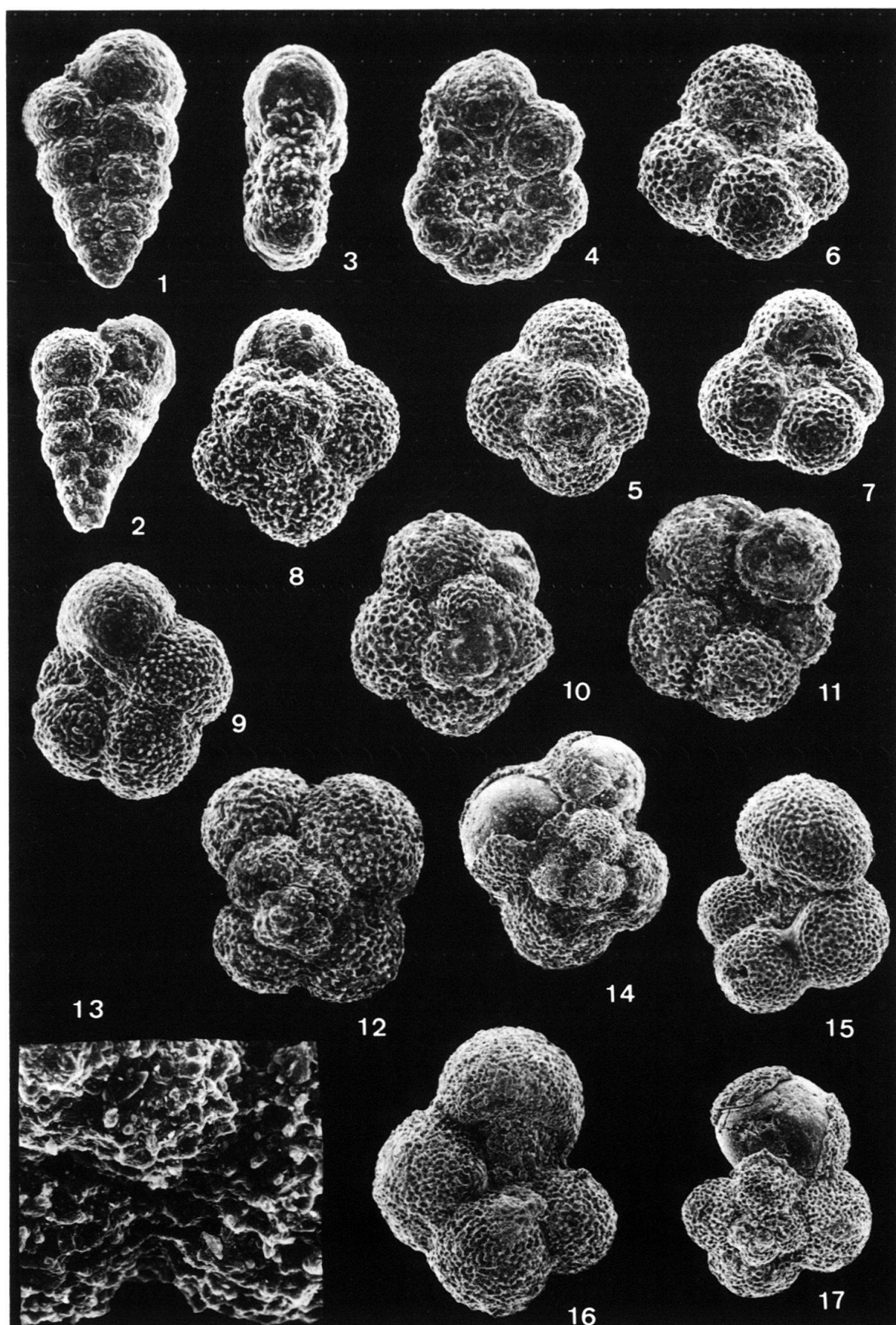


## Planche 6

Foraminifères planctiques des Marnes à Foraminifères et des Schistes à *Meletta* du massif des Bornes.

- Fig. 1, 2      *Chiloguembelina cubensis* (PALMER).  
Vacherie, 4526, Marnes à Foraminifères (C34632-34633).
- Fig. 3, 4      *Pseudohastigerina naguewichiensis* (MYATLIUK).  
Vacherie, 4526, Marnes à Foraminifères (C34634-34635). Fig. 3: vue aperturale; fig. 4: vue de côté.
- Fig. 5-7      *Globigerina officinalis* SUBBOTINA.  
Pré Vernay, 4528, Schistes à *Meletta* (C34636-34638). Fig. 5: face spirale; fig. 6, 7: face ombilicale.
- Fig. 8, 9      *Globigerina angustumbilicata* BOLLI.  
Fig. 8: Pré Vernay, 4528, Schistes à *Meletta* (C34639), face spirale; fig. 9: Vacherie, 4526, Marnes à Foraminifères (C34640), face ombilicale.
- Fig. 10, 11     *Globigerina cf. ciperoensis* BOLLI.  
Nanoir, 4536, Schistes à *Meletta* (C34641-34642). Fig. 10: face spirale; fig. 11: face ombilicale.
- Fig. 12, 13     *Globigerina anguliofficinalis* BLOW.  
Vacherie, 4527, Marnes à Foraminifères (C34643). Fig. 12: face spirale; fig. 13: détail de la figure 12 montrant la forme en «U» d'une suture entre deux loges du dernier tour.
- Fig. 14-17     *Globigerina ouachitaensis* HOWE & WALLACE.  
Nanoir, 4536, 4537, Schistes à *Meletta* (C34644-34647). Fig. 14, 17: face spirale; fig. 15, 16: face ombilicale.

Grossissements: fig. 1-4:  $\times 200$ ; fig. 5-12:  $\times 150$ ; fig. 14-17:  $\times 100$ ; fig. 13:  $\times 500$ .

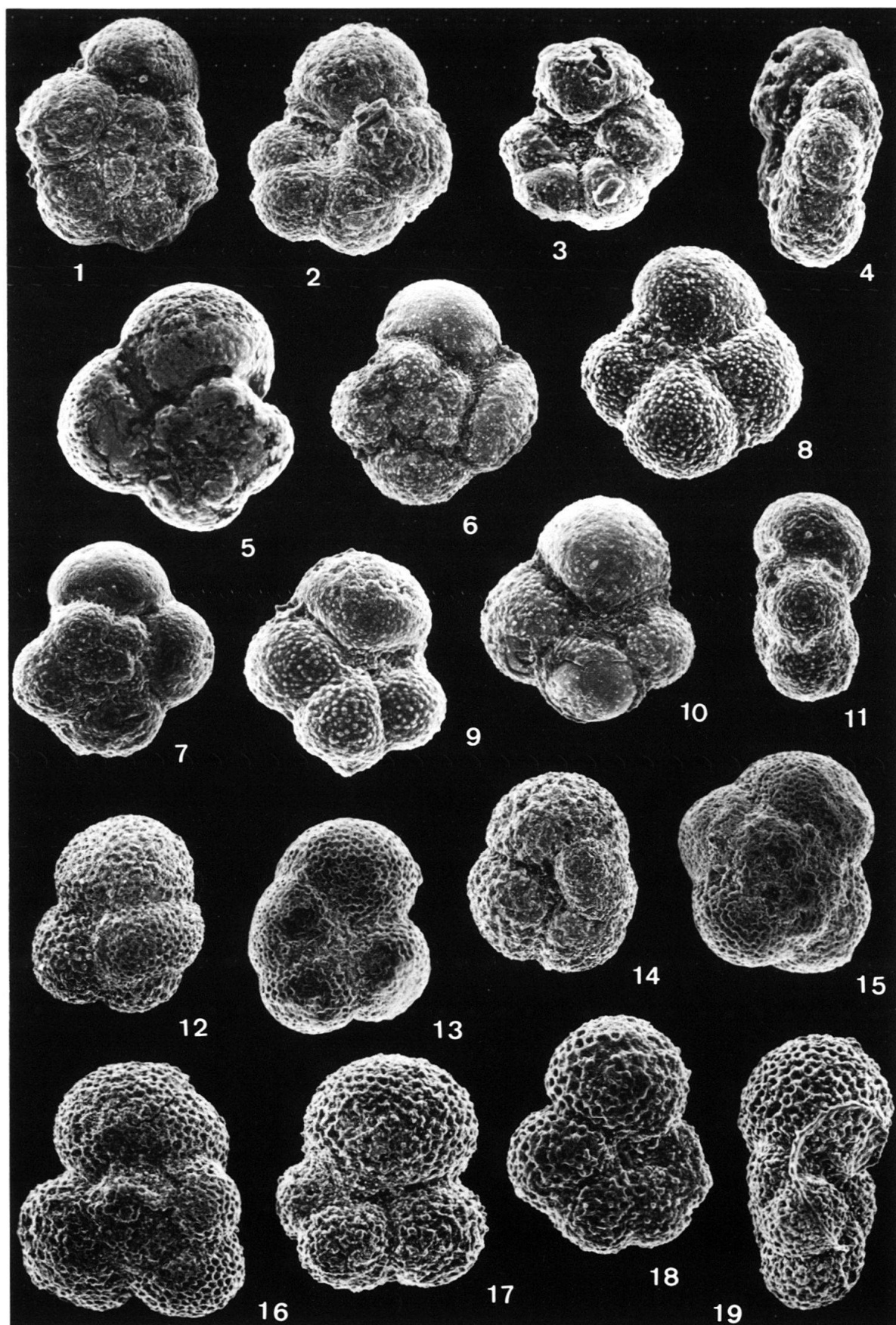


## Planche 7

Foraminifères planctiques des Marnes à Foraminifères et des Schistes à *Meletta* du massif des Bornes.

- Fig. 1-4      *Globorotalia postcretacea* (MYATLIUK).  
Vacherie, 4526, 4527, Marnes à Foraminifères (C34648-34651). Fig. 1: face spirale; fig. 2, 3: face ombilicale; fig. 4: vue de profil.
- Fig. 5-11     *Globorotalia munda* JENKINS.  
Nanoir, 4536, Schistes à *Meletta* (C34652-34658). Fig. 5-7: face spirale; fig. 8-10: face ombilicale; fig. 11: vue de profil.
- Fig. 12-15    *Globorotaloides suteri* BOLLI.  
Fig. 12, 14: Vacherie, 4526, 4527, Marnes à Foraminifères (C34659-34660); fig. 13, 15: La Sage, 4565, Schistes à *Meletta* (C34661-34662). Fig. 12-14: face ombilicale; fig. 15: face spirale.
- Fig. 16-19    *Globorotaloides cf. suteri* BOLLI.  
Vacherie, 4527, Marnes à Foraminifères (C34663-34666). Fig. 16: face spirale; fig. 17, 18: face ombilicale; fig. 19: vue de profil. On remarquera la forme générale du test très lobé ainsi que son aplatissement. La vue de profil montre aussi le reste d'une dernière loge qui devait recouvrir l'ombilic.

Grossissements: fig. 1, 2, 4:  $\times 200$ ; fig. 3, 5-11, 16-19:  $\times 150$ ; fig. 12-15:  $\times 100$ .



## Planche 8

Ostracodes des Marnes à Foraminifères du massif des Bornes.

- Fig. 1-2      *Bairdia gr. gliberti* KEIJ 1957.  
                 Fig. 1: carapace de droite; Le Roy, 4540. Fig. 2: Valve gauche de l'extérieur; Le Roy, 4540.
- Fig. 3      *Bairdia crebra* DELTEL 1964.  
                 Carapace de droite; Le Roy, 4540.
- Fig. 4-5      *Cytherella ihsaniyensis* SÖNMEZ 1973.  
                 Fig. 4: Carapace de gauche; Le Roy, 4539. Fig. 5: Valve gauche de l'extérieur; Le Roy, 4539.
- Fig. 6      *Carobairdia gr. ovata* BOLD 1960.  
                 Carapace de droite; col de la Colombière, 4520.
- Fig. 7      *Krithe angusta* DELTEL 1964.  
                 Carapace de droite; Le Roy, 4542.
- Fig. 8      *Krithe bartonensis* (JONES 1857).  
                 Carapace de droite; Le Roy, 4539.
- Fig. 9      *Krithe* sp. 1.  
                 Carapace de droite; Vacherie, 4524.
- Fig. 10      *Krithe* sp. 2.  
                 Carapace de droite; Montarquis, 4511.
- Fig. 11      *Argilloecia* sp. 293 KOLLMANN 1963.  
                 Carapace de gauche; Le Roy, 4540.
- Fig. 12      *Argilloecia* sp. 294 KOLLMANN 1963.  
                 Carapace de gauche; Le Roy, 4539.
- Fig. 13      *Actinocythereis* n.sp.  
                 Carapace de droite; Vacherie, 4524.
- Fig. 14      *Trachyleberidea prestwichiana* (JONES & SHERBORN 1887).  
                 Carapace de droite; col de la Colombière, 4516.
- Fig. 15      *Saida* ? sp. DELTEL 1964.  
                 Carapace de droite; col de la Colombière, 4520.
- Fig. 16, 17    *Henryhowella gr. asperrima* (REUSS 1850).  
                 Fig. 16: Valve gauche ♀ de l'extérieur; Le Roy, 4539. Fig. 17: Valve gauche ♂ de l'extérieur; Pont de Venay, 4522.
- Fig. 18      *Agrenocythere ordinata* (DETEL 1964).  
                 Carapace de gauche; Vacherie, 4523.

Grossissements: tous × 50.

